

## ТЕКТОНИКА И ПЕРСПЕКТИВЫ НЕФТЕГАЗОНОСНОСТИ СЕВЕРО-КАСПИЙСКОГО РЕГИОНА

М.Д. Белонин, А.И. Димаков, А.М. Жарков, Н.С. Окнова  
(ВНИГРИ)

Континентальная часть Северо-Каспийского региона изучена достаточно хорошо [1—3, 6, 7, 11]. С начала 80-х гг. прошлого века началось активное изучение примыкающей акватории Каспийского моря. На сегодняшний день в акватории Северного Каспия открыто три месторождения УВ, среди них уникальное по запасам месторождение Кашаган. По мере поступления материалов бурения и геофизики осуществляется геологический мониторинг, позволяющий уточнять строение региона и оценку перспектив его нефтегазоносности. Поскольку геологическая информация накапливается достаточно быстро, через сравнительно короткое время после последних публикаций по геологическому строению рассматриваемого региона имеется возможность уточнить сложившиеся ранее представления о тектонике и перспективах нефтегазоносности Северного Каспия [4, 5, 10].

В Северо-Каспийском регионе как на суше, так и в акватории моря происходит сочленение двух крупных структурно-тектонических элементов: северная часть региона представляет собой южное окончание Русской плиты (Прикаспийскую синеклизы) с докембрийским основанием и активным проявлением солянокупольной тектоники, характерной для Прикаспийской синеклизы; южная часть региона относится к молодой Скифско-Туранской плите с раннепалеозойским складчатым основанием и развитием в разрезе осадочного чехла промежуточного палеозойско-триасового комплекса. На суше граница между плитами проходит по осевой части Южно-Эмбинского поднятия, между кряжем Карпинского и Каракульско-Смушковской зоной дислокаций, в море — несколько севернее п-ова Бузачи и Кулалинского вала [9].

Как уже отмечалось, северная часть акватории Северного Каспия представляет собой южное окончание Прикаспийской синеклизы с присущими ей чертами строения и развития. Основные перспективы нефтегазоносности здесь связываются с верхнедевонско-каменноугольно-нижнепермской карбонатной толщей. Рассматриваемую часть Прикаспийской синеклизы осложняют крупная Кашаган-Тенгизская зона поднятий, морское продолжение Астраханско-Имашевской зоны поднятий, в северной прибрежной зоне — южные периклинали Новобогатинского

**В статье рассматривается тектоника акватории Северного Каспия и прилегающей части суши. В южной части Прикаспийской впадины выделена Астраханско-Тенгизская карбонатная платформа, в пределах которой развиты Астраханско-Имашевская и Кашаган-Тенгизская зоны поднятий. Определены четыре основных направления поисков залежей углеводородов в данном регионе: палеозойские структуры (Южный Жамбай, Шабурбалинская, Кашаган, Курмангазы); мезозойские структуры в море с бузачинским типом разреза; мезозойские структуры на морском продолжении вала Карпинского; солянокупольные структуры на акватории моря.**

**In this paper the tectonic structure of North-Caspian water area and adjacent land is considered. At the South part of Pricaspian depression Astrakhan-Tengiz carbonate platform is distinguished, in the limits of which Astrakhan-Imashevskaya and Kashagan-Tengiz zones of uplifts are developed. Four main directions of hydrocarbons prospecting are defined in this region: the Paleozoic structures (South Zhambay, Shaburbalinskaya, Kashagan, Kurmangazy); Mesozoic structures in the sea with Buzachi type of section; Mesozoic structures on the marine prolongation of Karpinsky swell; salt-arch structures in the water area of sea.**

и Гурьевско-Кульсаринского сводовых поднятий, расположенных в основном на суше, на юге синеклизы — Каракульско-Смушковская зона дислокаций (рис. 1).

Разрез подсолевых отложений Астраханско-Имашевской и Кашаган-Тенгизской зон поднятий характеризуется идентичным стратиграфическим объемом отложений, который по литолого-структурным особенностям четко расчленяется на карбонатный фаменско-ассельский и карбонатно-терригенный сакмаро-артинский комплексы. Карбонатный фаменско-ассельский комплекс формировался в условиях жаркого тропического климата, поскольку территория Северного Каспия в это время находилась вблизи экватора, согласно палеомагнитным данным. Комплекс представлен известняками органогенно-водорослевыми и органогенно-обломочными, формировавшимися в мелководных морских условиях [3]. Мощность карбонатной фаменско-ассельской толщи на Астраханском своде составляет 2,0...2,5 км, на Тенгизской структуре возрастает до 3 км, на Кашаганском валу достигает 2 км. Карбонатно-терригенный сакмаро-артинский комплекс представлен чередованием аргиллитов с прослоями известняков и доломитов. Толщина его составляет 50...150 м. Сакмаро-артинский комплекс совместно с ангидрито-соленосной толщей кунгура является региональным флюидоупором.

Залегающая ниже карбонатного комплекса часть палеозойского, а возможно, и верхнепротерозойского разреза (среднедевонские и более древние породы) по данным сейсморазведки представлена терригенными образованиями. При этом мощность этой терригенной толщи в Кашаган-Тенгизской зоне по сравнению с Астраханской значительно больше и составляет около 5000 м (рис. 2).

ПОИСКИ И РАЗВЕДКА

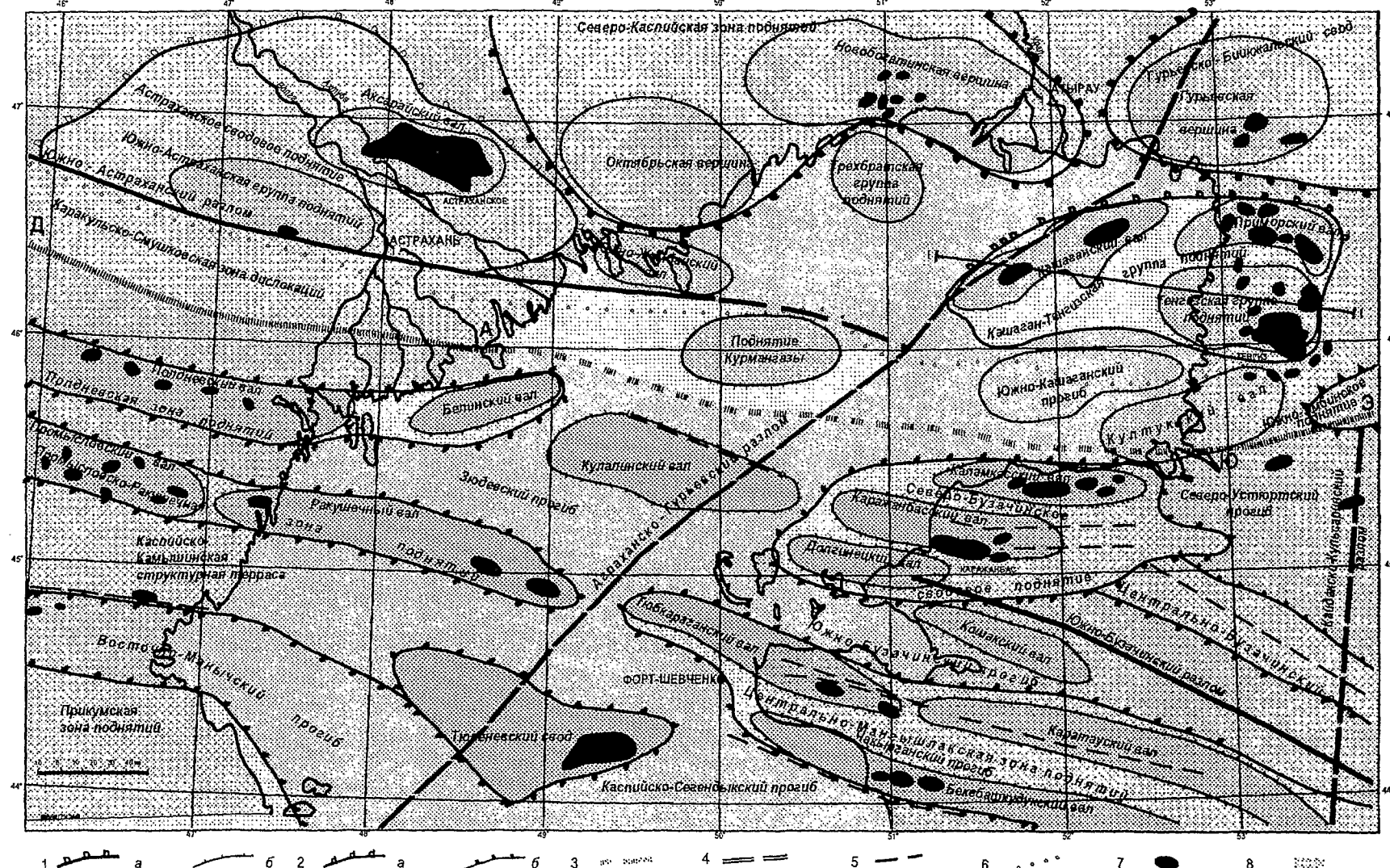


Рис. 1. Схематическая карта тектоники Северо-Каспийского региона.

1 — контуры структур палеозойского комплекса: а — I порядка, б — II порядка; 2 — контуры структур мезозойского комплекса: а — I порядка, б — II порядка; 3 — тектонические швы: Д-А — Донецко-Астраханский; Ю-Э — Южно-Эмбинский; 4 — региональные разломы; 5 — тектонические нарушения; 6 — южная граница распространения соляных куполов; 7 — месторождения УВ (подписаны наиболее крупные); 8 — континентальная суши

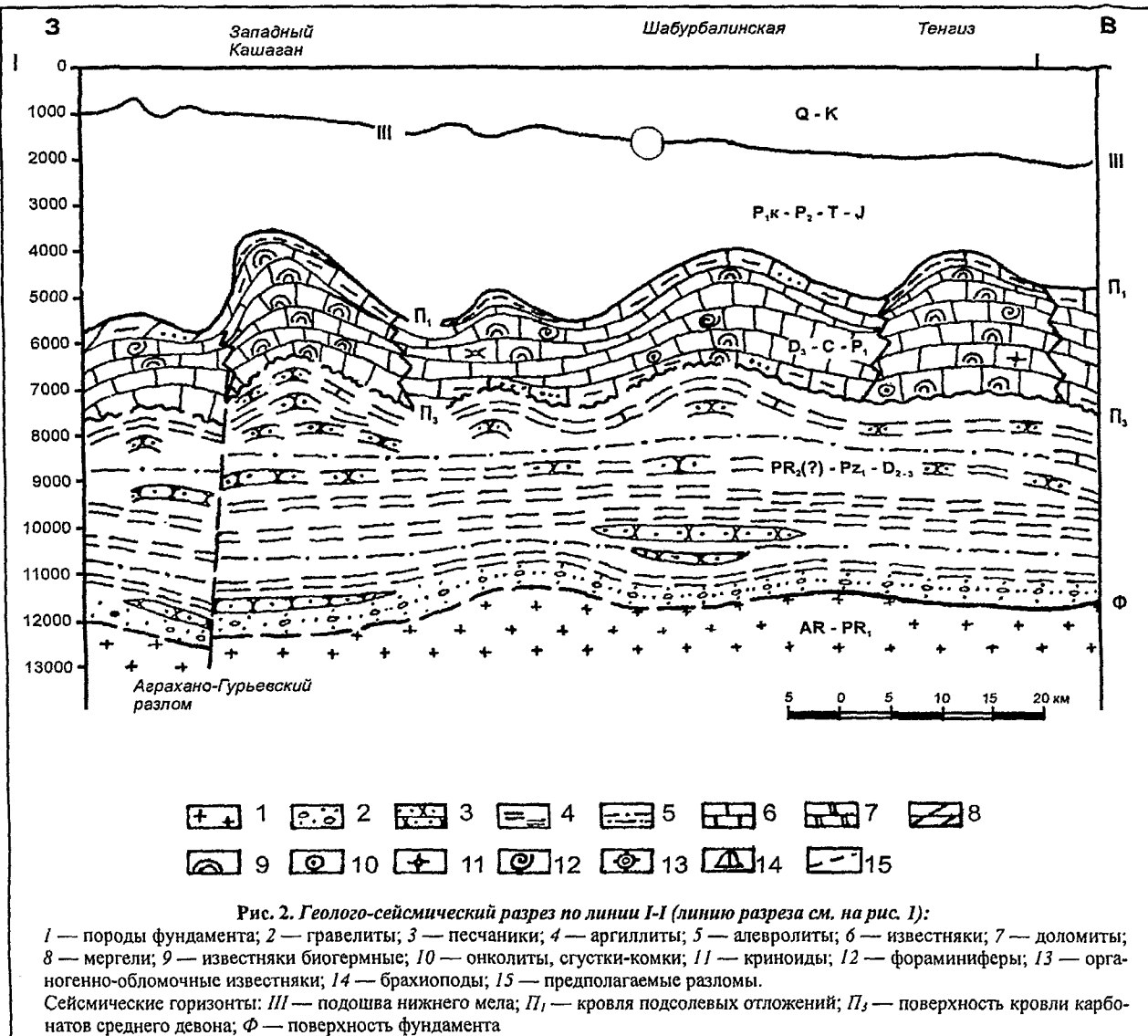


Рис. 2. Геолого-сейсмический разрез по линии I-I (линию разреза см. на рис. 1):

1 — породы фундамента; 2 — гравелиты; 3 — песчаники; 4 — аргиллиты; 5 — алевролиты; 6 — известняки; 7 — доломиты; 8 — мергели; 9 — известняки биогермные; 10 — онколиты, сгустки-комки; 11 — криноиды; 12 — фораминиферы; 13 — органически-обломочные известняки; 14 — брахиоподы; 15 — предполагаемые разломы.

Сейсмические горизонты: III — подошва нижнего мела; П<sub>1</sub> — кровля подсолевых отложений; П<sub>2</sub> — поверхность кровли карбонатов среднего девона; Ф — поверхность фундамента

Кашаган-Тенгизская зона палеозойских поднятий имеет сложное строение. На северо-востоке зоны выделяется группа Тенгизских поднятий, включающая Тенгизское, Короловское, Шабурбалинское и другие поднятия. Первые две структуры изучены сейсморазведкой и бурением, строение их освещено в публикациях [3, 8, 11]. Шабурбалинское поднятие приурочено к современной границе суши—моря, что вызывает определенные трудности в изучении структуры. В северной части Кашаган-Тенгизской зоны выделяется Приморский вал, протягивающийся на запад в море. На востоке Приморский вал с широтного простирания поворачивает на юг, приобретая субмеридиональное направление. Вал осложнен рядом локальных поднятий, на суще закартированы поднятия Пустынное, Тажигали, Кошкимбет, Каратон, Бирлестик (см. рис. 1).

В западной морской части Кашаган-Тенгизской зоны поднятий в подсолевом комплексе выделяется Кашаганский вал, который объединяет два крупных локальных поднятия — Восточный Кашаган и Западный Кашаган (Кер-Оглы), а также несколько

мелких поднятий (см. рис. 2). Формирование этого вала, по-видимому, связано с региональным Аграхано-Гурьевским глубинным разломом северо-восточного простирания. Протяженность вала достигает 100 км при ширине 20...35 км. Структура Восточный Кашаган по сейсмическому горизонту П<sub>1</sub>, отождествляемому с кровлей подсолевых кунгурских отложений, имеет вид вытянутого треугольника с широкой (30...35 км) юго-западной периклиналью и узкой северо-восточной. Сводовая часть поднятия осложнена несколькими вершинами, кровля горизонта П<sub>1</sub> на которых зафиксирована на глубине 3800...4000 м. Размер структуры по оконтуривающей горизонтали — 4200 м составляет 60 км в длину, ширина на юго-западе — 28 км, на северо-востоке — 4...7 км. Амплитуда — более 400 м. К юго-западу от структуры Восточный Кашаган, отделяясь от нее неглубокой перемычкой (седловиной), располагается поднятие Западный Кашаган (Кер-Оглы), которое вытянуто также в северо-восточном направлении. Глубина залегания кровли подсолевой толщи в северо-восточном поднятии составляет 3800 м. Западная перикли-

наль структуры из-за ухудшения качества сейсмического материала остается неизученной. Размеры поднятия  $30 \times 18$  км. Южнее Кашаганского вала в палеозойских отложениях сейсморазведкой выявлено несколько незначительных по размерам ( $3 \dots 5$   $\times$   $7 \dots 12$  км) локальных поднятий различной ориентировки (рис. 3).

Между Кашаганским валом и Шабурбалинским поднятием вырисовывается достаточно глубокая седловина, где горизонт П<sub>1</sub> зафиксирован на глубине 5400...5600 м. К югу от Кашаганского вала и Шабурбалинской структуры в подсолевом комплексе очерчивается узкий (14...18 км) Южно-Кашаганский прогиб, протягивающийся в широтном направлении от восточного берега на запад в море на расстояние 100 км. Глубина залегания кровли подсолевых отложений в осевой зоне прогиба достигает 6000...6200 м. Южнее Южно-Кашаганского прогиба в сторону п-ова Бузачи наблюдается воздымание в южном направлении кровли подсолевого комплекса, где отражающий горизонт П<sub>1</sub> зафиксирован на глубине 5000...5400 м и отображает северный склон Култукского вала.

Култукский вал вытянут в субширотном направлении. Простирание его согласуется с простиранием структур Южно-Эмбинского поднятия и Северо-Бузачинского свода. Западная часть вала слабо изучена, замыкание его предположительно происходит

на уровне меридиана Арманского месторождения на п-ове Бузачи. Южный склон Култукского вала, по-видимому, срезан Южно-Эмбинским тектоническим швом. На востоке вала в карбонатных верхнедевонско-каменноугольных отложениях сформированы локальные структуры Южная, Пионерская и др. К югу-востоку от Южной структуры палеозойские отложения круто погружаются в сторону Северо-Устюртского прогиба. Это падение достигает 2,5 км на расстоянии 50 км. В районе залива Комсомолец (северный берег) палеозойские отложения разбиты серией глубинных разломов на блоки. Здесь фиксируется шовная зона сочленения Прикаспийской синеклизы с Туранской эпипалеозойской плитой. К северо-востоку от Южной структуры выявлены локальные поднятия меньших размеров: Пионерское, Северный Култук, Бакыт и др. Их простирание широтное и северо-восточное, обусловленное влиянием Южно-Эмбинского поднятия.

К юго-западу от Кашаганского вала по юрско-меловым отложениям выделяется крупная Северо-Каспийская зона локальных поднятий (Камеральное, Восточно-Камеральное, Южно-Камеральное, Маяковского, Мусаханы Северное и др.). По палеозойским отложениям здесь развито крупное поднятие Курмангазы. Его размеры 50  $\times$  30 км. Ранее выполненные здесь сейсмические работы позволяют предположить, что под юрскими отложениями залегает

пермотриасовая толща, во многом аналогичная одновозрастным породам п-ова Бузачи. Примерно на глубине 5,0...5,4 км залегают каменноугольные карбонатные отложения.

К северо-западу от Кашаганского вала, на удалении 50...60 км от него, в подсолевом палеозойском комплексе выявлено достаточно крупное (20  $\times$  12 км) Трехбратьское локальное поднятие и на небольшом расстоянии от него расположено еще несколько локальных поднятий меньшего размера (Трехбратьское Северное, Трехбратьское Западное и др.).

Западную часть рассматриваемой территории охватывает обширная Астраханско-Имашевская зона палеозойских поднятий. В ее пределах выделяется крупный Астраханский свод, осложненный Аксарайским валом, с которым связано уникальное Астраханское серогазоконденсатное месторождение. Южнее Астраханского свода развита Южно-Астраханская группа локальных поднятий (Геологическое, Вартыновское, Уланское, Шадринское, Красносельское, Стрелецкое и др.). Восточнее Аксарайского вала расположено Имашевское локальное поднятие, с которым связано одноименное серогазоконденсатное месторождение.

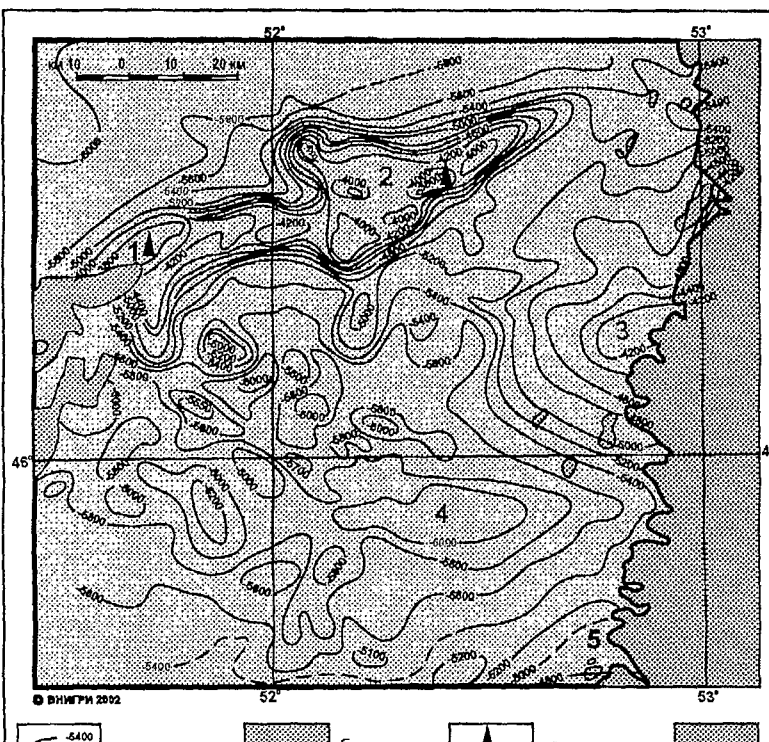


Рис. 3. Структурная карта по кровле карбонатного комплекса ( $D_3$ - $C_2$ ) северо-восточной части Каспийского моря (по данным Л. И. Лебедева и др. [10]):  
а — изогипсы по поверхности карбонатного комплекса; б — зона потери сейсмической корреляции; в — скважины глубокого бурения; г — континентальная суши.  
Структуры: 1 — Западно-Кашаганское поднятие (Кер-Оглы); 2 — Восточно-Кашаганское поднятие; 3 — Шабурбалинское поднятие; 4 — Южно-Кашаганский прогиб; 5 — Култукский вал.

К юго-востоку от Астраханского свода в прибрежной зоне в подсолевом палеозойском комплексе установлено крупное Южно-Жамбайское поднятие. Структура вытянута в юго-восточном направлении, с юга она осложнена тектоническим нарушением. Глубина залегания кровли подсолевого комплекса здесь составляет 4200...4400 м. Размеры структуры по горизонту  $\Pi_1$  65 × 25 км.

Протягивающаяся вдоль кряжа Карпинского Каракульско-Смушковская межплитная зона с севера ограничена разрывными нарушениями. Палеозойские породы зоны дислоцированы, сильно уплотнены, осложнены многочисленными дизъюнктивными нарушениями и характеризуются низкими фильтрационно-емкостными свойствами.

В пределах эпигерцинской Скифско-Туранской плиты далеко в море прослеживаются мезозойские структуры кряжа Карпинского, Северо-Бузачинского сводового поднятия, Южно-Бузачинского прогиба, Центрально-Мангышлакской зоны поднятий.

Северо-Бузачинское сводовое поднятие осложняется Каламкасским, Каражанбасским и Долгинецким валами. Эти валообразные структуры к западу от берега далеко прослеживаются в море. Так, Каламкасский вал субширотного профиля прослеживается в море на 30 км, а Каражанбасский — на 45 км. Долгинецкий вал также широтного профиля почти весь расположен в море (45 км), лишь его восточная периклиналь находится на суше. Валы, в свою очередь, осложнены локальными поднятиями. Как на суше, так и в акватории валообразные структуры связаны с крупными разрывными нарушениями. Один из разломов проходит через центральную часть Северо-Бузачинского сводового поднятия. К нему на суше приурочены локальные поднятия Каражанбас, Северные Бузачи, Жаманорпа, севернее находятся также приразломные структуры Каламкас, Карагатурун. Здесь на суше в юрских и меловых отложениях открыты нефтяные и газонефтяные месторождения Каражанбас, Северо-Бузачинское, Жалгизтобе, Каламкас, Арман, Северо-Каражанбасское, Карагатурун, Восточный Карагатурун.

Юрский продуктивный комплекс представлен преимущественно терригенными отложениями, переслаиванием глин и песчано-алевритовых пород. На склонах поднятий и в прогибах появляется пачка (до 100 м) карбонатно-глинистых пород оксфорда и волжского яруса. Толщина юрского комплекса изменяется от 250 м на сводах поднятий до 800...1000 м на их склонах и в прогибах. Основные продуктивные горизонты приурочены к байосскому, батскому и келловейскому ярусам.

Меловой продуктивный комплекс на п-ове Бузачи представлен неравномерно переслаивающимися песчано-алевритовыми и глинистыми породами неокома, апт-альба и сеномана. Продуктивная толща перекрыта глинисто-карбонатной пачкой верхнего мела, которая вместе с глинистой толщей апта является региональной покрышкой. Толщина мелового

комплекса изменяется от 500 м на сводах поднятий до 1000 м и более на их склонах и в прогибах. Продуктивные горизонты приурочены к готеривскому, барремскому ярусам неокома и нижнеалтскому подъярусу.

Западнее морских Каражанбасских структур геофизическими работами выявлен Кулалинский вал широтного профиля. В плане ему соответствует относительно интенсивная положительная гравитационная аномалия. Кулалинский вал вместе с Полдневским и Каражанбасским составляют единую зону линейно вытянутых в широтном направлении структур. По поверхности доюрского палеозойско-триасового основания Кулалинский вал представляет собой наиболее приподнятую структурную зону, характеризующуюся сокращенной толщиной юрских и меловых отложений. Длина вала немногим превышает 100 км, ширина 25...30 км, амплитуда достигает 0,8...1,0 км. В его центральной части поверхность доюрского основания зафиксирована на глубине 1,7...2,0 км, кровля юры — на отметках −0,9...−1,1 км, а кровля мела — на абсолютных глубинах −0,2...−0,4 км. Центральная часть вала осложнена крупными локальными поднятиями. Его северный склон осложнен глубинным разломом, четко выделяемым в доюрских отложениях и переходящим в более молодых образованиях во флексуру. Важной особенностью в строении вала является резкое угловое несогласие между доюрским и юрско-меловым комплексами. Подстилающие юру пермомиасовые (палеозойско-триасовые) отложения умеренно дислоцированы (углы 8...10°), за исключением зон активно развивающихся глубинных разломов. Толщина промежуточного палеозойско-триасового комплекса по данным сейсморазведки в пределах вала составляет 2,0...2,5 км и более. По геологическому строению и развитию Кулалинский вал во многом сходен с Каражанбасским и Каламкасским валами и, несомненно, представляет большой интерес для нефтепоисковых работ по юрским и нижнемеловым отложениям.

Герциниды кряжа Карпинского, согласно геофизическим материалам, далеко протягиваются на восток и в районе Аграхано-Гурьевского разлома, по-видимому, сливаются с Бузачинско-Центрально-Устюртской зоной палеозойских складчатых образований. Складчатые зоны кряжа Карпинского и Бузачинско-Центрально-Устюртская сопровождаются сравнительно высоким уровнем напряженности магнитного поля и преимущественно положительными аномалиями силы тяжести в виде линейных максимумов субширотного профиля.

Складчатый палеозойский фундамент кряжа Карпинского у побережья Каспийского моря залегает на глубине 2...3 км. Каменноугольно-нижнепермские образования фундамента кряжа представлены переслаиванием песчаников, аргиллитов, алевролитов, глинистых сланцев с редкими прослоями известняков и мергелей. Углы падения слоев состав-

ляют 15...65° и более. В позднепермско-триасовое время в пределах кряжа Карпинского и расположенного южнее его Манычского прогиба накапливалась пестроцветная толща, выделенная позже в самостоятельный переходный (промежуточный) комплекс. Породы этого комплекса заполняют эрозионно-тектонические впадины складчатого фундамента. Платформенный этап развития на территории кряжа Карпинского начался с юрского времени. Основные нефтегазоносные горизонты здесь связаны с нижнемеловыми и юрскими преимущественно терригенными отложениями. Юрские и меловые структуры образуют валообразные цепочки, вытянутые вдоль кряжа в субширотном направлении. У западного побережья Каспия на суще выделяются Полдневский, Промыслово-Цубукский валы и Каспийско-Камышитовая структурная терраса. Здесь в юрских и меловых отложениях выявлен ряд газовых, газо-нефтяных и нефтяных месторождений (Промысловское, Межевое, Каспийское, Ермолинское и др.).

На морском продолжении Полдневского вала расположен Белинский вал, а морским продолжением Промыслово-Ракушечной зоны структур является Ракушечный вал, который на востоке сближается с продолжающимся в море Тюбкараганским валом. Все эти валообразные структуры осложнены значительным количеством локальных поднятий, наиболее крупными из которых являются Широтное, Ракушечное, Морское, Баутинское, Белинское, Кулалинское. На Ракушечном валу, на структурах Широтная и Ракушечная, в юрско-меловых отложениях выявлены месторождения УВ.

Находят свое продолжение в море крупные структурно-тектонические элементы — Восточно-Манычский прогиб и Прикумская зона поднятий. К востоку от них в море расположен Тюленевский свод, осложненный Хвалынским и другими локальными поднятиями. К юрским отложениям Хвалынской структуры приурочено месторождение УВ.

Для сравнительной оценки перспектив нефтегазоносности Северо-Каспийского региона основное значение имеют литолого-фациальные и структурные факторы. При этом надо учитывать, что основными источниками генерации УВ в разрезе палеозойских отложений являются песчано-глинистые и карбонатно-глинистые породы, часто обладающие признаками относительной глубоководности, обогащенные РОВ. Вышележащие карбонатные толщи характеризуются невысоким содержанием РОВ, обычно не превышающим 0,3 %. Область распространения карбонатных верхнедевонско-каменноугольных отложений Кашаган-Тенгизской зоны поднятий относится к категории бедных и средних нефтематеринских пород. Наибольшими генерационными возможностями обладают широко развитые в регионе турнейско-визейские глинисто-карбонатно-кремнистые породы. Эти отложения значительной толщины распространены на северо-западном склоне Южно-Эмбинского поднятия, в пределах

Маткен-Ушмолинской моноклинали и в Восточно-Каратонском прогибе. Широко развитая в регионе предполагаемая доверхнедевонская терригенная толща палеозойских отложений также обладала высоким генерационным потенциалом. Отметим также, что терригенные и терригенно-карбонатные отложения каменноугольного и раннепермского возраста на юго-востоке Прикаспийской впадины являются одновременно нефтесодержащими и нефтематеринскими, из них, возможно, поступали углеводороды в Кашаган-Тенгизскую зону нефтегазонакопления.

Принимая во внимание вышеуказанные факторы, приводится сравнительная оценка перспектив нефтегазоносности выявленных структур Северо-Каспийского региона. В его пределах в порядке убывания значимости можно выделить четыре главных направления нефтегазопоисковых работ:

- поиски залежей УВ в подсолевых палеозойских карбонатных отложениях;
- поиски залежей УВ в мезозойских отложениях на структурах с бузачинским типом разреза;
- поиски залежей УВ в мезозойских отложениях на морском продолжении кряжа Карпинского;
- поиски залежей УВ на солянокупольных структурах.

Относительно первого направления работ следует сказать, что все палеозойские подсолевые структуры, развитые в пределах Астраханско-Тенгизской карбонатной платформы, обладают высокими перспективами нефтегазоносности. Здесь уже выявлены два месторождения — Западный Кашаган (Кер-Оглы) и Восточный Кашаган. Сейсмической разведкой на акватории Северного Каспия закартировано большое число подсолевых палеозойских локальных поднятий. Наиболее крупными из них являются Ка-шаганские (Западное и Восточное), Южно-Жамбайское, Трехбратьское, Трехбратьское Северное, Приразломное, Кер-Оглы Южное, Нубар Южное, Кайран. Установлено около 20 локальных палеозойских поднятий меньшего размера.

Южно-Жамбайское палеозойское поднятие находится в одной нефтегазоносной зоне с Астраханским и Имашевским газоконденсатными месторождениями. Близкое расположение Южно-Жамбайской структуры к указанным газоконденсатным месторождениям позволяет высоко оценивать перспективы ее нефтегазоносности. Южно-Жамбайское поднятие находится в прибрежной зоне, где сильно изрезана береговая линия. Структура слабо изучена сейсморазведкой, поэтому для уточнения ее строения необходимо провести детальную сейсмическую съемку.

Трехбратьское подсолевое поднятие и расположенные вблизи него локальные структуры меньших размеров также представляются перспективными, но здесь следует ожидать несколько сокращенную мощность карбонатной палеозойской толщи и наличие в ее составе терригенных пропластков.

О перспективах нефтегазоносности крупного палеозойского поднятия Курмангазы можно высказать

двойное суждение. С одной стороны, структура находится в пределах Астраханско-Тенгизской карбонатной платформы и, несомненно, толща карбона и верхнего девона представлена карбонатными породами. Структура расположена в 90...100 км от месторождения Западный Кашаган (Кер-Оглы). С другой стороны, поднятие Курмангазы находится вблизи тектонического шва — к северу от него. Такое же расположение по отношению к тектоническому Донецко-Астраханскому шву имеют Каракульско-Смушковская зона дислокаций и Южно-Астраханская группа поднятий, где палеозойские отложения сильно уплотнены, нарушены многочисленными дизьюнктивами и характеризуются низкими фильтрационно-емкостными свойствами. Поэтому здесь, несмотря на значительное число пробуренных скважин, не было выявлено ни одного промышленного скопления УВ. Структура Курмангазы находится в одной зоне с указанными выше тектоническими элементами, над ней отсутствует региональная соленосная покрышка. Курмангазинская площадь сопровождается положительной магнитной аномалией, что не характерно в этом регионе для зон нефтегазонакопления. Кашаганские месторождения и структура Курмангазы расположены по разные стороны Аграхано-Гурьевского разлома.

*Выявленная и изученная западная морская часть Шабурбалинского палеозойского локального поднятия представляет значительный интерес для нефтегазопоисковых работ. Восточная часть этой структуры распространяется на сушу, где происходит ее замыкание. Близкое расположение и одинаковые литолого-фациальные условия формирования с Тенгизским месторождением позволяют высоко оценивать перспективы нефтегазоносности Шабурбалинской структуры.*

Несомненно, на всех мелких локальных палеозойских структурах Кашаган-Тенгизской зоны поднятий должно быть проведено бурение со вскрытием башкирских отложений. Целесообразно детальное изучение сейсморазведкой зоны между Тенгизским поднятием и Приморским валом, где в карбонатной толще могут быть выявлены небольшие по размерам локальные поднятия, а на южном склоне вала — стратиграфически и литологически экранированные ловушки.

Для поисков залежей УВ в Кашаган-Тенгизской зоне нефтегазонакопления заслуживают внимания и перемычки (седловины) между локальными поднятиями. Поскольку глубина залегания водонефтяного контакта на выявленных месторождениях не установлена, залежи УВ могут распространяться и на седловины между поднятиями.

Южные склоны Гурьевско-Бийкжальского и Северо-Каспийского сводовых поднятий, несмотря на большие глубины залегания подсолевого комплекса, представляют определенный интерес для нефтегазопоисковых работ. Здесь следует ориентироваться не только на антиклинальные структуры, но и глав-

ным образом на стратиграфически экранированные ловушки. В предпермское и предартинское время высоко поднятые на своде толщи каменноугольных и, возможно, девонских пород были денудированы, в результате чего кунгурские и верхнепермские отложения с резким угловым и стратиграфическим несогласием на склонах сводов залегают на породах карбона и девона. Некоторые исследователи считают, что на южном склоне Гурьевско-Бийкжальского сводового поднятия развиты карбонатные толщи или даже рифогенные постройки каменноугольного возраста. Видимо, такое мнение ошибочно, что уже подтвердилось бурением скв. П-1 — Эмбинской и СГ-2 — Бийкжальской. Вероятно, следует полагать, что каменноугольные и верхнедевонские толщи сложены терригенными и терригенно-карбонатными отложениями, которые накапливались в условиях некомпенсированного осадконакопления. Целесообразно выполнить более детальные сейсмические работы на южном склоне Гурьевско-Бийкжальского свода с целью выявления неантклинальных ловушек.

По поводу второго из перечисленных выше направлений нефтегазопоисковых работ можно отметить, что мезозойские структуры с бузачинским типом разреза расположены к западу и северу от п-ова Бузачи. Нефтегазоносность этих структур, по-видимому, будет связана с юрскими и нижнемеловыми отложениями. Отметим только наиболее крупные локальные поднятия: Буриншик, Северо-Каражанбасское, Мусаханы, Мунтаз, Каражанбас-море, Западный Каражанбас, Западный Долгинец, Долгинец-море. Структуры Северо-Каспийской зоны поднятий, согласно данным сейсморазведки, во многом аналогичны структурам бузачинского типа, перспективы их нефтегазоносности также связаны с отложениями юры и нижнего мела. Из локальных поднятий, расположенных в Северо-Каспийской зоне и вблизи нее, следует выделить Камеральное, Камеральное Восточное и Южное, Июльское, Маяковское, Гамбурцевское, Безымянное, Рябовское, Белинское, Нубар, им. Ахунбаева и др. На указанных структурах целесообразно провести поисково-разведочные работы.

Рассматривая третье направление поисков скоплений УВ в Северо-Каспийском регионе, следует добавить, что на морском продолжении кряжа Карпинского в мезокайнозойском комплексе осадков также выявлено несколько локальных поднятий, представляющих интерес для нефтегазопоисковых работ. Здесь на структуре Широтная в карбонатных породах неокома и верхней юры двумя поисково-оценочными скважинами было выявлено месторождение УВ им. Ю. Корчагина (скв. 1 — Широтная пробурена до глубины 2500 м, скв. 2 — Широтная — до глубины 2020 м). Из наиболее крупных локальных поднятий следует назвать Зюлевское, Петровское, Морское, Осетровое, Ракушечное, Кулалинское, Атаское. Нефтегазоносными на этих структурах могут быть не только нижнемеловые и юрские, но и триасовые отложения.

Наименее значимое четвертое направление поисковых работ связано преимущественно с северной частью акватории Северного Каспия. В этом районе выделено более 20 соляных куполов, обусловленных дислокациями мощной толщи кунгурской соли. Их положение достаточно четко обозначается локальными гравитационными минимумами. Соляно-купольные поднятия разных структурных типов представляют практический интерес для поисков месторождений бессернистой нефти и газа. Продуктивными, по аналогии с выявленными на суше месторождениями УВ, являются триасовые, юрские и нижнемеловые отложения.

### Выводы

1. В южной части Прикаспийской синеклизы выделена Астраханско-Тенгизская карбонатная платформа позднедевонско-каменноугольно-раннепермского возраста. Она осложнена Астраханско-Имашевской, Кашаган-Тенгизской зонами поднятий, Трехбратской группой поднятий, Култукским валом.

2. Вместо Приморской зоны подсолевых палеозойских поднятий, объединявших Южную, Тенгизскую структуры, Приморский вал и другие более мелкие локальные поднятия, выделены Кашаган-Тенгизская зона поднятий и Култукский вал. Эти крупные структурно-тектонические элементы разделены Южно-Кашаганским прогибом, сформированы на разных бортах этого прогиба и отделены глубинным разломом широтного простирания.

3. В пределах карбонатной палеозойской платформы обоснованы наиболее перспективные структурно-тектонические элементы:

Кашаганский вал, включая и небольшие по размерам осложняющие его поднятия;

Тенгизская группа локальных структур, включая Шабурбалинское поднятие;

Южно-Жамбайский вал, расположенный на юго-восточном продолжении Астраханско-Имашевской зоны нефтегазоносности;

Трехбратская группа локальных поднятий.

4. По юрско-меловому комплексу наибольшие перспективы нефтегазоносности связаны:

с морским продолжением структур Северо-Бузачинского сводового поднятия — Каламкасского, Каражанбасского валов и расположенных к западу и северо-западу от них Кулалинского вала, группы Камеральных поднятий, Гамбурцевской, Маяковской, Июльской и других локальных структур;

с локальными структурами Ракушечного вала на морском продолжении кряжа Карпинского и Тюленинского свода, где уже открыты месторождения им. Ю. Корчагина и Хвалынское.

### ЛИТЕРАТУРА

1. Айзенштадт Г.Е.-А. Разломно-блоковое строение Прикаспийского нефтегазоносного бассейна // Отечественная геология. — 1994. — № 7. — С. 43—47.
2. Айзенштадт Г.Е.-А. Нефтегазоносность и разломная тектоника Прикаспийской впадины // Геология нефти и газа. — 1998. — № 11. — С. 24—32.
3. Айтисева Н.Т. Особенности разреза подсолевого комплекса Каратон-Тенгизской и Астраханской зон нефтегазонакопления // Геология нефти и газа. — 1983. — № 10. — С. 16—20.
4. Белонин М.Д., Назаров В.И., Павленков О.А. Анализ геолого-экономических условий освоения ресурсов нефти и газа северной части Каспийского шельфа // Теория и практика геолого-экономической оценки нефтегазовых объектов, оценка инвестиционной привлекательности объектов лицензирования. — СПб, 2002. — С. 47—48.
5. Грибков В.В., Димаков А.И., Трифонов Н.К. Перспективы нефтегазоносности северо-восточной части акватории Каспия и направления дальнейших поисково-разведочных работ // Тр. / ВНИГРИ. — Л.: Недра, 1973. — Вып. 344. — С. 129—135.
6. Грибков В.В., Димаков А.И., Токарев В.П. О перспективах нефтегазоносности северного побережья полуострова Бузачи и прилегающей к нему акватории Каспийского моря // Тр. / ВНИГРИ. — Л.: Недра, 1973. — Вып. 344. — С. 143—150.
7. Димаков А.И., Тамаров А.И. Глубинная структура Манышлака // Тр. / ВНИГРИ. — Л.: Недра, 1973. — Вып. 322. — С. 71—75.
8. Димаков А.И., Грибков В.В. Геология и нефтегазоносность Северного и Среднего Каспия // Тр. / ВНИГРИ. — Л.: Недра, 1975. — Вып. 367. — С. 11—18.
9. Керимов Б.Ю., Авербух Б.М., Мильничук В.С. Тектоника Северного Каспия и перспективы нефтегазоносности // Советская геология. — 1990. — № 7. — С. 23—29.
10. Геологическое строение и перспективы нефтегазоносности Северного Каспия / Л.И. Лебедев, Н.Ф. Акопджанова, А.В. Никишин и др. // Геология, геофизика и разработка нефтяных и газовых месторождений. — 2001. — № 11. — С. 4—12.
11. Турков О.С., Куандыков Б.М., Суесинов К. Строение и нефтегазоносность подсолевых отложений юго-восточной прибрежной зоны Прикаспийской впадины // Нефтегазоносность Прикаспийской впадины и сопредельных районов. — М.: Наука, 1987. — С. 95—102.